

doi: 10.13241/j.cnki.pmb.2014.13.011

miR-375 在 AGEs 介导糖尿病血管损伤细胞中的生物学功能

彭 炬¹ 熊 丹² 马晓东¹ 兰时乐¹ 卢向阳^{1△}

(1 湖南农业大学生物科技学院 湖南 长沙 410128; 2 中南大学湘雅医院心内科 湖南 长沙 410008)

摘要 目的: 探讨 miR-375 在血管损伤细胞中的表达及生物学功能。**方法:** 利用基因克隆技术构建 miR-375 表达载体；然后将 miR-375 表达质粒转染至血管损伤细胞中，同时分别设立 Huvec12 对照组，血管损伤细胞组，血管损伤抑制组，Huvec12 转染 miR-375 组。24h 后收集细胞，在 mRNA 和蛋白水平检测 Mtpn、NF_κB、profilin1、sICAM1 的表达，经荧光染色观察细胞 F-actin 的变化，再用流式细胞仪检测细胞凋亡。**结果:** 血管损伤细胞中过表达 miR-375 后，在 mRNA 和蛋白水平靶基因 Mtpn 下降，NF_κB 的表达活性下降，使糖尿病血管病变的标志 profilin1 下调；F-actin 表达恢复；细胞粘附因子 (sICAM1) 表达下降，细胞凋亡减少。**结论:** 初步证明 miR-375 可以抑制 AGEs 介导的糖尿病血管细胞损伤的发生，可能成为糖尿病血管损伤并发症基因治疗的靶点。

关键词: miR-375；AGEs；转染；血管损伤细胞

中图分类号: Q291, R587.2 文献标识码: A 文章编号: 1673-6273(2014)13-2441-05

The Biological Function of miR-375 in Vascular Cells Injury Induced by AGEs-mediated Diabetes

PENG Ju¹, XIONG Dan², MA Xiao-dong¹, LAN Shi-le¹, LU Xiang-yang^{1△}

(1 College of Biological Science and Technology, Hunan Agricultural University, Changsha, Hunan, 410128, China;

2 Department of Cardiovascular Medicine, Xiangya Hospital, Central South University, Changsha, Hunan, 410008, China)

ABSTRACT Objective: To investigate the expression and biological function of miR-375 in injured vascular cells. **Methods:** Cloning technology was used to construct miR-375 expression vector and subsequently miR-375 expression plasmid was transfected into injured vascular cells. Meanwhile, we set for further study: Huvec12 as control, injured vascular cells, vascular cells after injury inhibition and cells with miR-375 overexpression. Cells were harvested 24 hours after treatments. The expression of Mtpn, NF_κB, profilin1 and sICAM1 were measured in both mRNA and protein level. F-actin was examined via fluorescence staining. Cell apoptosis was assessed by flow cytometry. **Results:** In injured vascular cells with miR-375 overexpression, the mRNA and protein expression of targeted gene Mtpn declined. It was also observed the reduction of NF_κB activity, downregulation of the diabetic vascular injury marker profilin1, restoration of F-actin expression, a decrease of sICAM1 expression and reduced cell apoptosis. **Conclusions:** miR-375 may inhibit the injuries of vascular cells caused by AGEs-mediated diabetes and may become a new target for gene therapy to treat vascular complications caused by diabetes.

Key words: miR-375；AGEs；Transfection；Injured vascular cells**Chinese Library Classification(CLC):** Q291, R587.2 **Document code:** A**Article ID:** 1673-6273(2014)13-2441-05

前言

糖尿病发病率逐年上升，糖尿病血管病变引发的并发症是糖尿病致病致残、致死的主要原因之一。大量研究证实，糖尿病血管病变很大一部分因素是由体内糖基化终产物 (AGEs) 介导的^[1]，AGEs 代谢诱导细胞产生大量氧自由基，通过细胞内信号级联反应，激活蛋白激酶 C (PKC) 和核因子 - κ B (NF_κB)，最终活化糖尿病相关并发症发生的通路^[2-4]，引起糖尿病血管病变标志肌动蛋白调节蛋白 (profilin1) 上调，使细胞骨架重组再分

布^[5-7]，导致细胞通透性增加引起细胞凋亡。

miR-375 是近年来发现的一种 microRNA，最初是在胰腺中发现，它的正常表达与否对胰腺的形态、发育和功能至关重要。它的靶蛋白有很多，其中与 MTPN (神经递质儿茶酚胺释放基因) 结合可调节胰岛素分泌^[11,12]。已有研究显示^[13]：Mtpn 是细胞中 NF_κB 的激活因子，miR-375 调控 Mtpn 的改变可以导致 NF_κB 活性改变。本研究旨在应用基因技术，在糖尿病血管损伤细胞中表达 miR-375，调节 NF_κB 活性，降低 profilin1 表达，减少细胞凋亡，抑制血管细胞损伤的发生。

1 材料与方法

1.1 材料

1.1.1 细胞 人脐静脉血管内皮细胞系 (Huvec12) 由本实验室冻存。用含 10% FBS 的 RPMI1640 培养基，置于 37°C, 5% CO₂ 培养箱中培养。细胞换液时间为 2-3 天，3-5 天传代。实验分为

作者简介：彭炬(1984-)，男，硕士研究生，主要研究方向：分子生物学，电话 0731-84010432；E-mail: pengju0825@foxmail.com

△通讯作者：卢向阳，男，教授，博士生导师，电话：0731-84638246；E-mail: xiangyangcn@163.com

(收稿日期：2013-11-28 接受日期：2013-12-24)

5组:

Huvec12 对照组:未作任何处理的人脐静脉血管内皮细胞系,Huvec12 对照组;

血管损伤细胞组:用 AGEs(200ug/mL)处理的 Huvec12 细胞系,AGEs-Huvec12 组;

血管损伤抑制组:加入 BAY-117082(2ug/mL) NF κ B 抑制剂的 AGEs (200ug/mL) 处理 huvec12 细胞系,BAY-AGEs-Huvec12 组;

Huvec12 细胞转染 miR-375 表达质粒组 : pEGFP-N1-miR375 转染的 Huvec12 细胞系,miR375-Huvec12 组;

血管损伤细胞转染 miR-375 表达质粒组 : pEGFP-N1-miR375 转染的 AGEs(200ug/mL)处理的 huvec12 细胞系,miR375-AGES-Huvec12 组。

1.1.2 主要试剂和仪器 FBS, RPMI1640 培养基为 Gibco 产品; Trizol, lipofectamine2000、F-actin 染料、DIPA、RT-PCR 引物为 Invitrogen 产品; SYBR GREEN 为 Roche 产品; miRNA 检测试剂为 Ambion 产品; NF κ B、profilin1 为 CST 公司产品; MTPN 为 BD 产品; sICAM-1 检测试剂为南京建成公司产品; BAY 11-7082, AGE-BSA 为 Merck 产品; NF κ B 活性检测试剂为 Promega 产品; 自动酶标仪、细胞培养箱为 Thermo 产品; 电泳

设备为 BIO-RAD 公司产品; RealtimePCR 仪为 Roche 产品; 流式细胞分析仪为 BD 产品; 激光共聚焦扫描显微镜为 Olympus 产品。

1.2 方法

1.2.1 血管损伤细胞培养 将 Huvec-12 细胞用含 10%FBS 的 RPMI1640 培养基培养细胞, 待细胞密度达 40% 时, 加入 200ug/mL AGEs 37°C , 5% CO₂ 维持培养细胞 24h 以上即是 AGEs 介导的糖尿病血管损伤细胞^[6]。

1.2.2 构建 pEGFP-N1-miR375 质粒 本研究以人的 gDNA 为模板, PCR 扩增 miR-375 前体序列 (126bp), 扩增引物为: 5'-AAGCTTGGCTATGCTGAGAAG-3' 和 5'-TCTAGACGGC CCCGGGTCTTCGCTCCGGCCCCCGCAGAGCCCCTCGC ACAAAACGGACCTGAGCGTTTGTTCGTCGGCTCGCGT GAGGCAGGGGCCGCTCTCAGCATCAGAAGCTT-3'。 miR-375 成熟序列: 5'-CCCGCGACGAGCCCC TCGCACAAACCG GACCTGAGCGTTTGTTCGTCGGCTCGCGTGAGGC-3'(图 1B)。

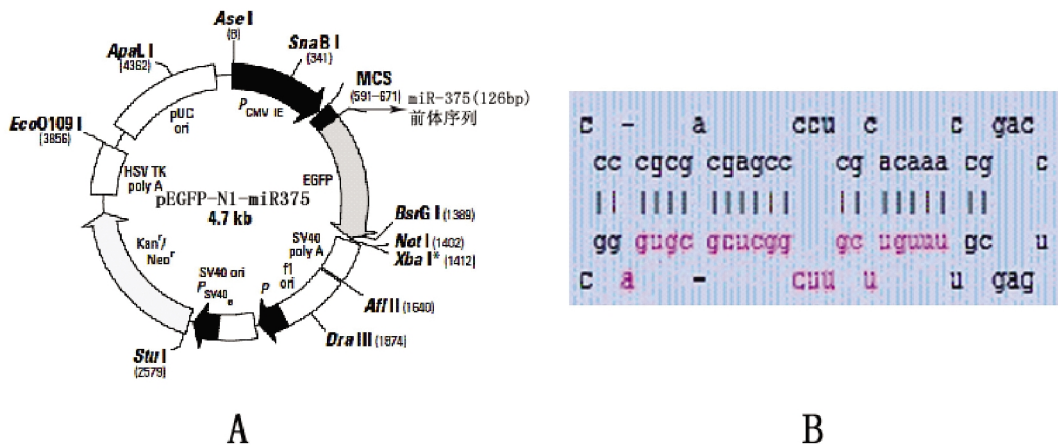


图 1 miR-375 表达质粒的构建:A.pEGFP-N1-miR375 质粒图 B.成熟 miR-375 图(标记区域为功能区)

Fig. 1 Construction of miR-375 expression plasmid: A.pEGFP-N1-miR375 plasmid map B .Mature miR-375 map (marked areas is functional areas)

1.2.3 转染 pEGFP-N1-miR375 质粒至细胞 分组培养细胞, 待密度 80% 时, 按转染试剂说明将 2ug pEGFP-N1-miR375 质粒和 10uL lipofectamine2000 在无血清培养基中混匀, 室温静置 20min, 然后再缓慢加入到培养基中, 37°C , 5% CO₂ 培养, 24h 后收获细胞。

1.2.4 检测 miR-375 表达水平 细胞转染 24h 后, 收获细胞, 用 Ambion 公司的 mirVana™ qRT-PCR miRNA Detection Kit 提取 mRNA 逆转录后做 RT-PCR 检测, U6 snRNA 作为内参基因; 反应体系为: 10 μL SYBR Green supermix; 0.5 μL mir Vana PCR primers; 0.5 μL product from TR reaction; 9 μL Nuclease-free Water; 反应条件: 95°C for 3 min; 95°C for 15 sec, 60°C for 30 sec(40cycles), 运用 LightCycler 480 系统分析数据。

1.2.5 RT-PCR 检测 Mtpn, profilin1, NF κ Bp65 基因表达 细胞转染 24h 后收获细胞, 用 Trizol 提取总 RNA 再逆转录, 反应体

系为 20 μL, 置于 42°C 1h, 70°C 10min 后, 按照 SYBR GREEN 说明进行 RT-PCR, 体系为 20 μL, 其中四种基因(GAPDH、NF κ Bp65、profilin1、Mtpn 序列见表 1)引物(1umol/L)各 2 uL, 混匀后离心上机检测。反应条件: 95°C 5min; 95°C 10sec; 60°C 10sec; 72°C 退 10sec, 共 40 循环; 72°C 10min。运用 LightCycler 480 系统分析数据。

1.2.6 Western blot 检测 Mtpn, NF κ Bp65, profilin1 蛋白表达

分组培养细胞, 收集细胞提取总蛋白, BCA 法进行蛋白定量。以每泳道 30ug 上样, 经 12%SDS-PAGE 电泳分离蛋白, 将蛋白转移至 PVDF 膜上(恒流 300mA)室温下 5% 脱脂奶粉封闭 1h, 用一抗 4°C 孵育过夜, TBST 漂洗 10min × 3 次, 再用 HRP 标记二抗室温孵育 1h, 漂洗 10min × 3 次后 ECL 发光显色, 用化学发光成像系统分析结果。

1.2.7 免疫荧光染色检测 F-actin 表达 实验细胞首先爬片培

表 1 引物序列信息
Table 1 Sequence of primers

Gene	Gene ID	Sequence of primers	Size(bp)
GAPDH-F:	2597	5'-GGACTCATGACCACAGTCATGCC-3'	133
GAPDH-R:		5'-CAGCCTTGGCAGCGCCAGTA-3'	
MTPN-F	136319	5'-TGCTTCTGTCAAAGGGTGCT-3'	78
MTPN-R		5'-CCTGGTTGTCAGTGGCTTCA-3'	
profilin1-F:	5216	5'-GTTCGTCAACATCACGCCAG-3'	112
profilin1-R:		5'-GTCGGGATCACCGAACATT-3'	
NFK B-p65-F:	5970	5'-GGGGACTACGACCTGAATGC-3'	122
NFK B-p65-R:		5'-TTGGGGCACGATTGTCAAA-3'	

养,再转染细胞,24h 后取爬片用 4%多聚甲醛固定 30min,PBS 清洗爬片,3%BSA 封闭 1h,F-actin 染料 37℃ 染色 1h,PBS 漂洗 5min× 5 次,DAPI 复染后 PBS 漂洗 5min× 3 次,吸干水分用封片剂封片,4℃ 避光保存。用激光共聚焦扫描显微镜观察结果。

1.2.8 检测细胞中的 NFκB 活性水平 分组培养细胞后,根据 NFκB 活性检测说明将 pGL4 32 [luc2 NF-κB-RE Hyrgo] Vector 转染至实验细胞中,24h 后收获细胞,裂解取 20 μL 裂解液和 100 μL 荧光素底物,混匀后用化学发光检测仪收集数据。

1.2.9 ELISA 检测细胞上清中 sICAM1 按实验分组培养细胞,收集细胞培养上清。用南京建成公司的 sICAM1 试剂盒进行酶联免疫实验,酶标仪扫描样本,计算结果。

1.2.10 流式细胞仪检测细胞凋亡 分组培养细胞,将细胞收集离心 800rpm,5min. 用预冷的 PBS 清洗 2 次调整细胞数目至 5 × 10⁵ 个 /mL, 然后加入 500 μL 的 Binding Buffer 重悬细胞,加

入 5 μL 的 Annexin V/FITC 混匀后, 加入 5 μL Propidium Iodide, 混匀, 室温避光 15min。流式细胞仪检测细胞凋亡。

1.3 统计学分析

所有实验数据均以均数± 标准差($\bar{x} \pm s$)表示,各组细胞数据之间的比较采用非配对 t 检验和方差分析。以 P<0.05 作为具有统计学意义的标准。

2 结果

2.1 Realtime PCR 结果

细胞转染 24 小时后 RT-PCR 结果可见:miR375-Huvec12 组和 miR375-AGEs-Huvec12 组的 miR-375 表达明显上调(图.2A)。在 mRNA 水平,AGEs-Huvec12 组的 NFκB p65 和 profilin1 表达上调,而在 BAY-AGEs-Huvec12 组、miR375-Huvec12 组、miR375-AGEs-Huvec12 组实验中 mtpn、NFκB p65 和 profilin1 表达又显著下降(图.2B)。

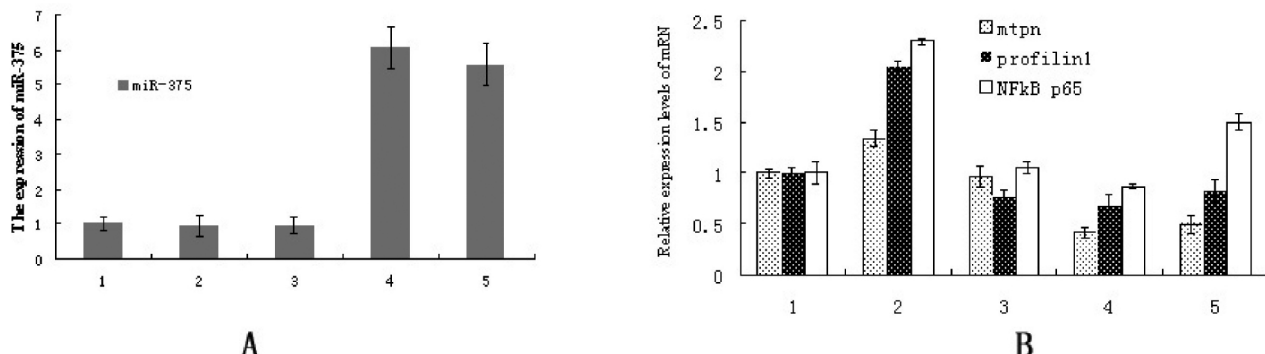


图 2 miR-375,MTPN,profilin1 和 NFκB p65 表达水平检测

A 转染 24h 后 miR-375 表达情况;B Mtpn、profilin1 和 NFκB p65 的 mRNA 表达差异(注与对照组比较, #P<0.05)。1:Huvec12 对照组;2:AGEs-Huvec12 组;3:BAY-AGEs-Huvec12 组;4:miR375-Huvec12 组;5:miR375-AGEs-Huvec12 组。

Fig. 2 Detection expression levels of miR-375,MTPN,Profilin1 and NFκB p65

A The expression of miR-375 after transfection of 24h;B Mtpn, profilin1 and NF κB p65 expression difference of mRNA(Compared with the control group, #P<0.05)。1:Huvec12 control group;2:AGEs-Huvec12 group;3:BAY-AGEs-Huvec12 group;4:miR375-Huvec12 group;5:miR375-AGEs-Huvec12 group。

2.2 Western blot 结果

western blot 实验显示:在 AGEs-Huvec12 组中 profilin1 有显著上调,Mtpn 和 NFκB p65 略有上调。在 BAY-AGEs-Hu-

vec12 组、miR375-Huvec12 组、miR375-AGEs-Huvec12 三组实验中 Mtpn 和 profilin1 明显下降,NFκB p65 略有下降(图.3)。

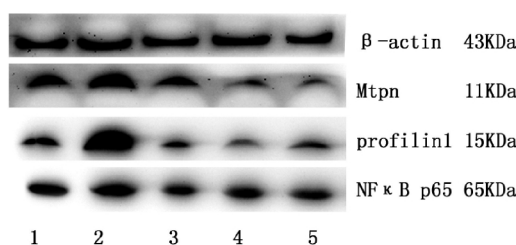


图 3 Western blotting 分析 Mtpn、profilin1 和 NF κ B p65 蛋白表达结果。1:Huvec12 对照组;2:AGES-Huvec12 组;3:BAY-AGES-Huvec12 组;4:miR375-Huvec12 组;5:miR375-AGES-Huvec12 组。

Fig. 3 Western blotting of the protein expression of mtpn, profilin1 and NF κ B p65 in different groups.1:Huvec12 control group;2:AGES-Huvec12 group;3:BAY-AGES-Huvec12 group;4:miR375-Huvec12 group;5:miR375-AGES-Huvec12 group.

2.3 免疫荧光染色结果

固定细胞做免疫荧光染色,红色为 F-actin;蓝色为核;绿色

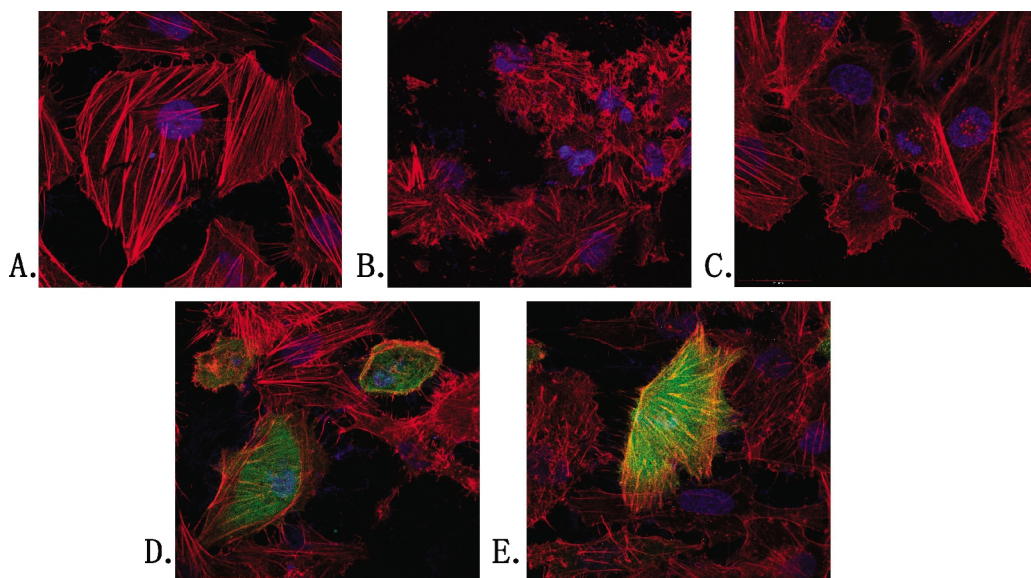


图 4 免疫荧光染色照片(× 1000)1:Huvec12 对照组;2:AGES-Huvec12 组;3:BAY-AGES-Huvec12 组;4:miR375-Huvec12 组;5:miR375-AGES-Huvec12 组。

Fig. 4 Immunofluorescence staining photos(× 1000). 1:Huvec12 control group;2:AGES-Huvec12 group;3:BAY-AGES-Huvec12 group;4:miR375-Huvec12 group;5:miR375-AGES-Huvec12 group.

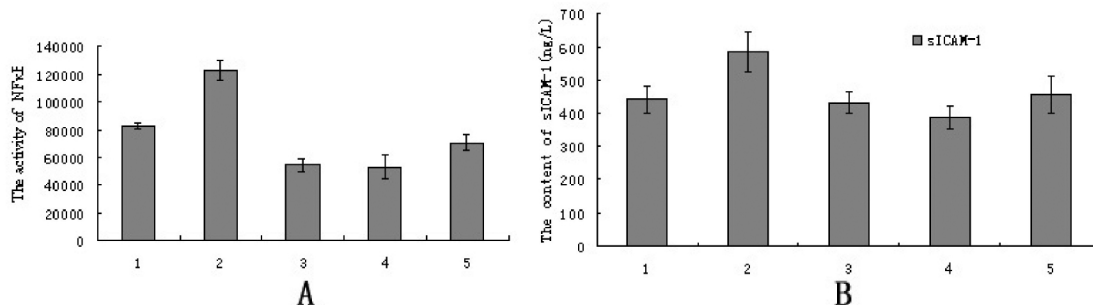


图 5 NF κ B 活性和 sICAM1 检测结果

A NF κ B 活性检测结果(#P<0.05); B 细胞培养液中 sICAM-1 的含量(#P<0.05) 1:Huvec12 对照组;2:AGES-Huvec12 组;3:BAY-AGES-Huvec12 组;4:miR375-Huvec12 组;5:miR375-AGES-Huvec12 组。

Fig. 5 The NF κ B activity and sICAM1 test result

A Results the NF κ B activity; B The cell sICAM1 content in the cell culture medium. 1:Huvec12 control group;2:AGES-Huvec12 group;3:BAY-AGES-Huvec12 group;4:miR375-Huvec12 group;5:miR375-AGES-Huvec12 group.

为转染 pEGFP-N1-miR375 后表达的绿色荧光蛋白。从图 4 中明显可以看出:与 Huvec12 对照组相比(A),AGES-Huvec12 组(B)中 F-actin 表达异常,而 BAY-AGES-Huvec12 组(C)、miR375-Huvec12 组(D)、miR375-AGES-Huvec12 组(E)三组中 actin 的表达正常。

2.4 NF κ B 活性检测结果

提取细胞裂解液检测荧光值,由图 5A 可知,AGES-Huvec12 组中 NF κ B 的活性升高,在 BAY-AGES-Huvec12 组、miR375-Huvec12 组、miR375-AGES-Huvec12 三组中 NF κ B 的活性下降。

2.5 细胞培养液 ELISA 检测结果

细胞培养液 sICAM-1 检测结果显示:与 Huvec12 对照组比较,AGES-Huvec12 组的 sICAM-1 表达上调,而在 BAY-AGES-Huvec12 组、miR375-Huvec12 组、miR375-AGES-Huvec12 三组中 sICAM-1 表达下降(图 5B)。

2.6 流式细胞仪检测结果

用激发波长488nm,发射波长530nm检测结果显示:AGES-Huvec12组凋亡率升高,而在BAY-AGES-Huvec12组、miR375-Huvec12组、miR375-AGES-Huvec12三组中,细胞凋亡减少。

表2 细胞凋亡检测结果(% $\bar{x}\pm s, n=5$)

Table 2 Cell apoptosis detection results(% $\bar{x}\pm s, n=5$)

The experimental group	Apoptosis rate
Huvec12 control group	2.8±0.9
AGES-Huvec12 group	17.4±4.8 [#]
BAY-AGES-Huvec12 group	5.6±2.3 [#]
miR375-Huvec12 group	3.8±1.5 [#]
miR375-AGES-Huvec12 group	8.9±2.7 [#]

#P<0.05 vs Huvec12 对照组。#P<0.05 vs Huvec12 control group。

3 讨论

miRNA是重要的转录后调控因子,参与调控生长,细胞增殖、凋亡、分化、代谢等生物基本过程。miRNA在不同细胞中扮演着不同的角色。在胰腺中,miR-375表达直接影响其形态、发育和功能。研究发现miR-375调节不同的mRNA表达起到不同的生物学作用。在胃癌中miR-375通过调控JAK2为靶基因起抑癌基因的作用^[8]。miR-375通过调控YAP的表达抑制肝癌细胞的增殖和迁移^[9]。还有研究PDK1显示也是miR-375的靶基因之一,可影响食管癌细胞的生物学功能^[10]。

目前治疗糖尿病及其并发症主要是通过控制血糖,调节体内胰岛素水平控制病情,但是对于糖代谢在体内积累产生“代谢记忆”,造成AGEs介导的血管病变却没有更好的治疗方案。有学者通过血管病变机理的研究,发现NFkB蛋白表达活性的高低,直接影响着profilin1的表达,后者是关键的肌动蛋白调节蛋白,它的增加将引起细胞骨架重组再分布使血管内皮细胞收缩,通透性增加引起细胞病变。

研究发现,血管损伤细胞中过表达miR-375后,在mRNA和蛋白水平Mtnp作为靶基因表达下降,NFkBp65的表达活性也随之下降,最终糖尿病血管病变的标志profilin1^[5]下调。而在免疫荧光染色中,与正常对照细胞和血管损伤细胞比较,过表达miR-375的血管损伤细胞中F-actin表达情况有明显恢复。ELISA检测细胞粘附因子(sICAM1)表达下降,细胞凋亡减少。而这些结果与血管损伤受抑制细胞一致,进一步证明在AGEs介导的血管损伤细胞中,miR-375表达后是通过降低NFkB的表达活性,使血管损伤细胞中的profilin1和sICAM1下降,肌动蛋白恢复正常,细胞凋亡减少。

综上所述,miR-375可以抑制血管损伤细胞病变的发生,甚至可以恢复和缓解损伤的作用,可能成为糖尿病血管病基因治疗的潜在靶点,但miR-375作用的机理仍需进一步研究。

参考文献(References)

- Kiuchi K, Nejima J, Takano T, et al. Increased serum concentrations of advanced glycation end products: a marker of coronary artery disease activity in type 2 diabetic patients [J]. Heart, 2001, 85(1):87-91
- Guo ZJ, Niu HX, Hou FF, et al. Advanced oxidation protein products activate vascular endothelial cells via a RAGE-mediated signaling pathway [J]. Antioxid Redox Signal, 2008, 10(10):1699-1712
- Forbes JM, Yee LT, Thallas V, et al. Advanced glycation end product interventions reduce diabetes-accelerated atherosclerosis [J]. Diabetes, 2004, 53(7):1813-1823
- Bogatcheva NV, Garcia JG, Verin AD. Molecular mechanisms of therombin-induced endothelial cell permeability [J]. Biochemistry (Mosc), 2002, 67(1):75-84
- Wang JP, Guo XH, Wang LJ, et al. Effects of Rho/ROCK signal pathway on AGEs-induced morphological and functional changes in human dermal microvascular endothelial cells [J]. Acta Physiologica Sinica, 2009, 61(2):132-138
- Dardik R, Savion N, Gal N, et al. Flow conditions modulate homocysteine induced changes in the expression of endothelial cell genes associated with cell-cell interaction and cytoskeletal rearrangement [J]. Thromb Haemost, 2002, 88(6):1047-1053
- Romeo GR, Kazlauskas A. Oxysterol and diabetes activate STAT3, and control endothelial expression of profilin-1 via OSBP1 [J]. J Biol Chem, 2008, 283(15):9595-9605
- Ding L, Xu Y, Zhang W, et al. MiR-375 frequently downregulated in gastric cancer inhibits cell proliferation by targeting JAK2 [J]. Cell Res, 2010, 20(7):784-793
- Liu AM, Poon RT, Lu JM. MicroRNA-375 targets Hippo-signaling effector YAP in liver cancer and inhibits tumor properties [J]. Biochem Biophys Res Commun, 2010, 394(3):623-627
- Li X, Lin R, Li J. Epigenetic Silencing of MicroRNA-375 Regulates PDK1 Expression in Esophageal Cancer [J]. Dig Dis Sci, 2011, 56(10):2849-2856
- Gauthier BR, Wollheim CB. MicroRNAs: ribo-regulators of glucose homeostasis [J]. Nat Med, 2006, 12:36-38
- Taoka M, Ichimura T, Wakamiya TA, et al. A protein expressed transiently during murine cerebellar development, regulates action polymerization via interaction with capping protein [J]. J Biol Chem, 2003, 278:5864-5870
- Genuth S, Sun W, Cleary P, Sell DR, et al. Glycation and carboxymethyllysine levels in skin collagen predict the risk of future 10-year progression of diabetic retinopathy and nephropathy in the diabetes control and complications trial and epidemiology of diabetes interventions and complications participants with type 1 diabetes [J]. Diabetes, 2005, 54(11):3103-3111
- Vlassara H, Striker LJ, Teichberg S, et al. Advanced glycation end products induce glomerular sclerosis and albuminuria in normal rats [J]. PNAS, 1994, 91(24):11704-11708
- Yamagishi S, Nakamura K, Imaizumi T. Advanced glycation end products (AGEs) and diabetic vascular complications [J]. Curr Diabetes Rev, 2005, 1(1):93-106
- Ceriello A, Ihnat MA, Thorpe JE. The "metabolic memory": is more than just tight glucose control necessary to prevent diabetic complications [J]. Clin Endocrinol Metab, 2009, 94(2):410-415
- Moldovan NI, Milliken EE. Regulation of endothelial cell adhesion by profilin [J]. Curr Biol, 1997, 7(1):24-30
- Romeo G, Frangioni JV, Kazlauskas A. Profilin acts downstream of LDL to mediate diabetic endothelial cell dysfunction [J]. FASEB, 2004, 18(6):725-727
- Guo XH, Huang QB, Chen B, et al. Advanced glycation end products induce actin rearrangement and subsequent hyperpermeability of endothelial cells [J]. APMIS, 2006, 114(12):874-883
- Sliman SM, Eubank TD, Kotha SR, et al. Hyperglycemic oxoaldehyde, glyoxal, causes barrier dysfunction, cytoskeletal alterations, and inhibition of angiogenesis in vascular endothelial cells: aminoguanidine protection [J]. Mol Cell Biochem, 2010, 333(1-2):9-26